



FIG. 1

103651-01036510

103651-103652

103651-103652



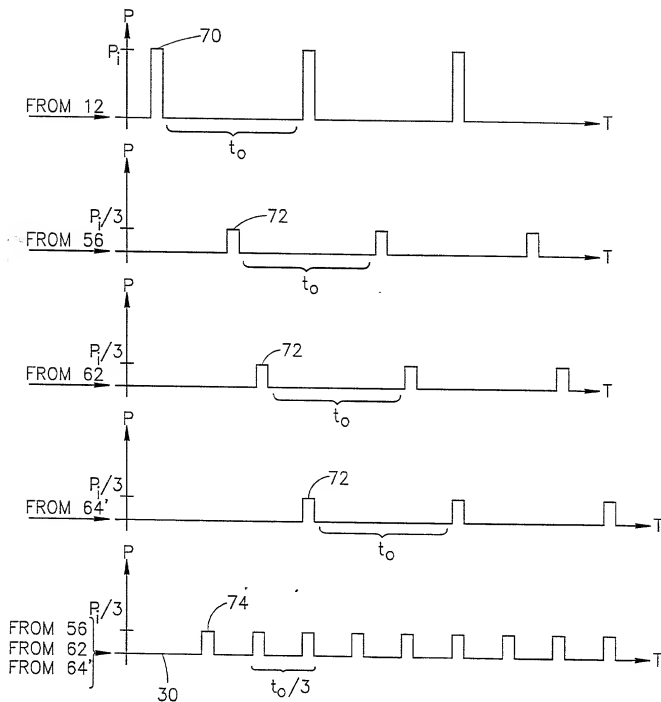


FIG.3

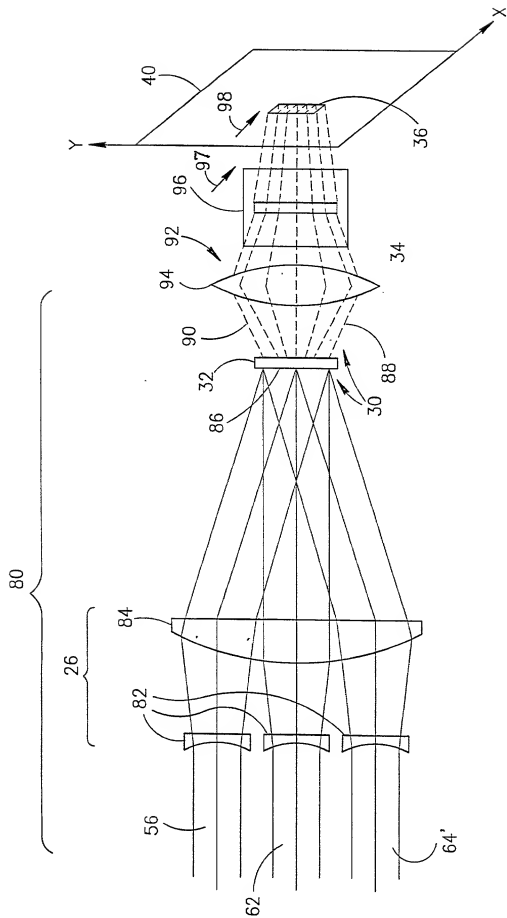


FIG. 4

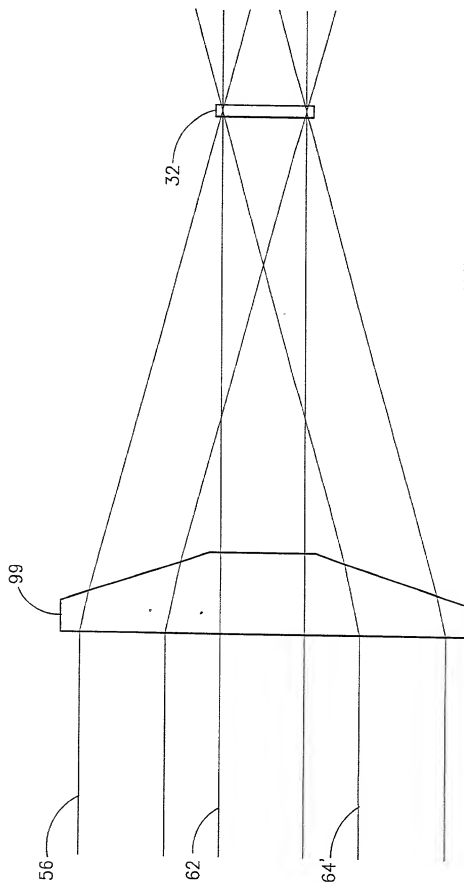


FIG.5

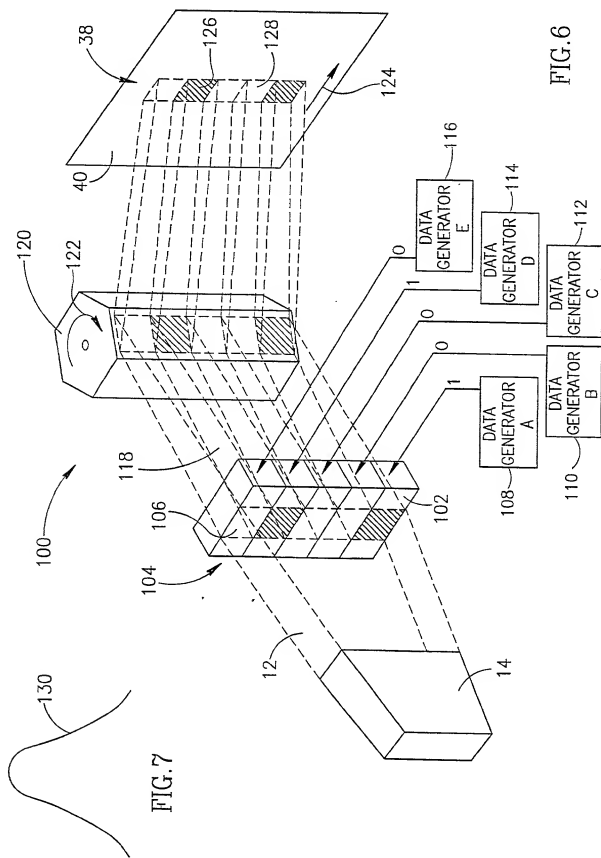
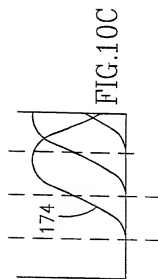
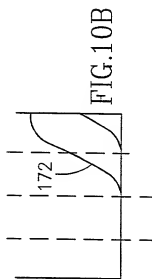
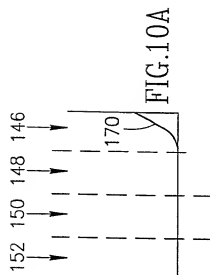
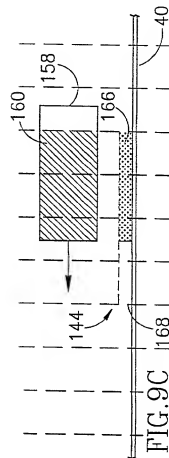
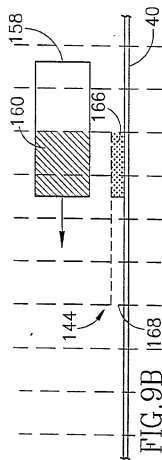
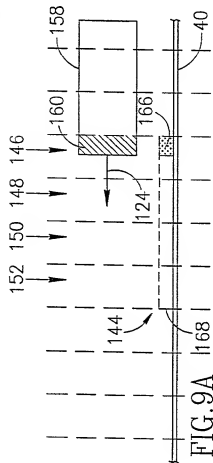
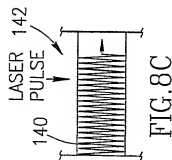
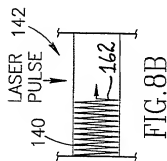
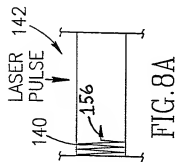


FIG. 6



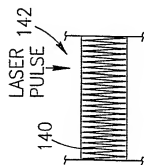


FIG. 8D

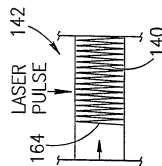


FIG. 8E

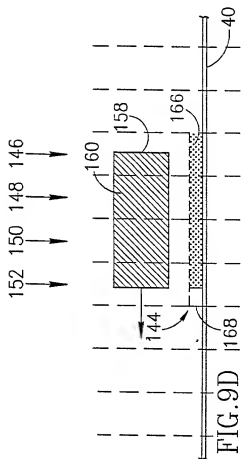


FIG. 9D

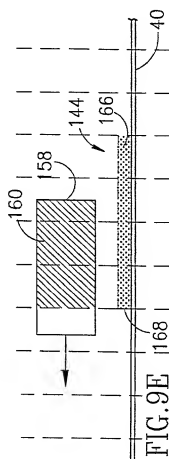


FIG. 9E

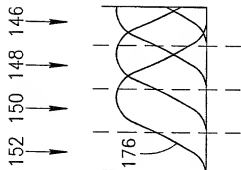


FIG. 10D

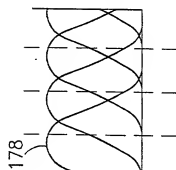
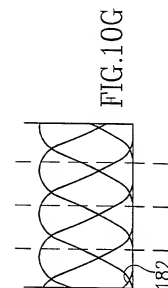
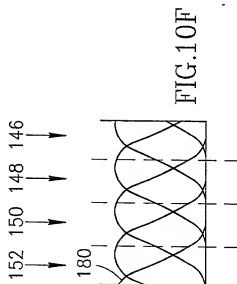
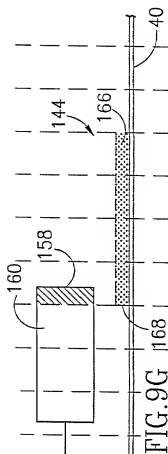
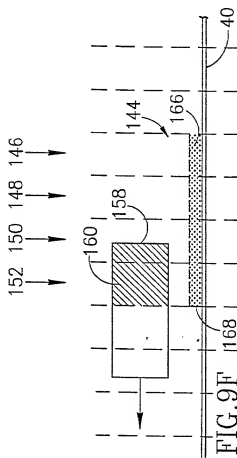
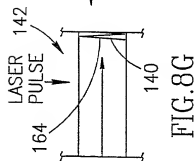
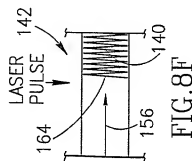
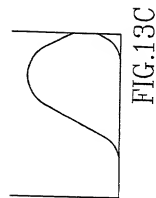
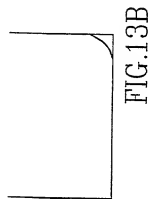
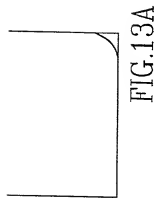
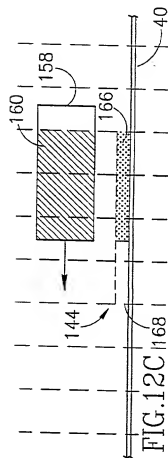
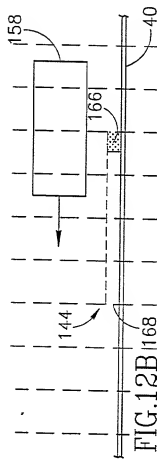
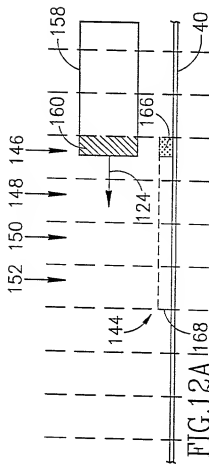
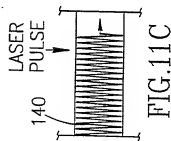
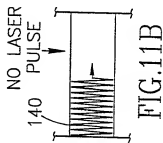
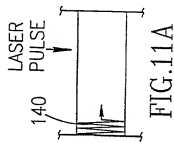


FIG. 10E

206010-1908E001





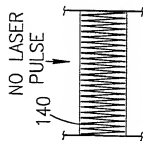


FIG. 11D

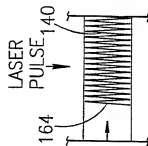


FIG. 11E

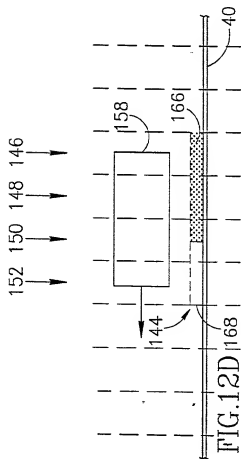


FIG. 12D

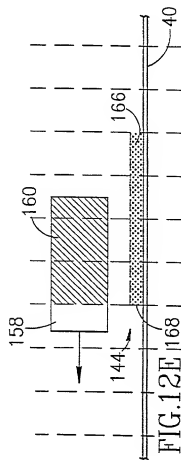


FIG. 12E

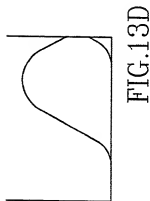


FIG. 13D

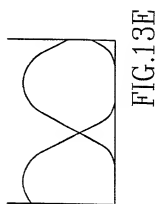


FIG. 13E

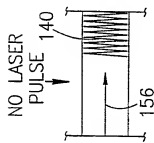


FIG. 11F

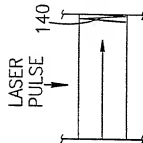


FIG. 11G

152 150 148 146

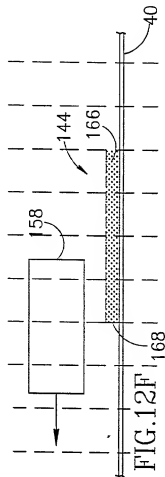


FIG. 12F

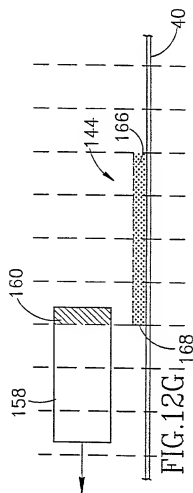


FIG. 12G

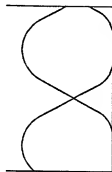


FIG. 13F

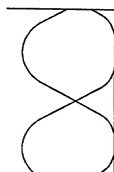


FIG. 13G

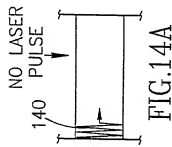


FIG. 14A

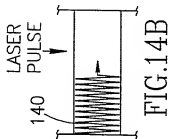


FIG. 14B

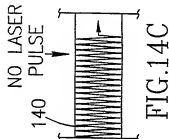


FIG. 14C

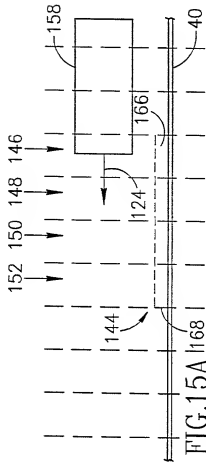


FIG. 15A

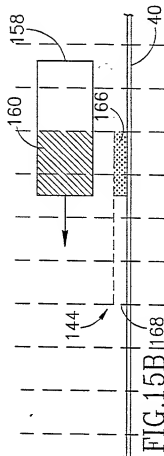


FIG. 15B

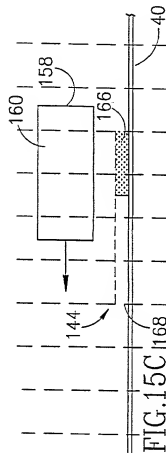


FIG. 15C

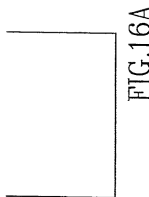


FIG. 16A

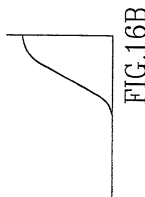


FIG. 16B

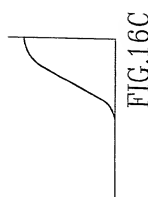
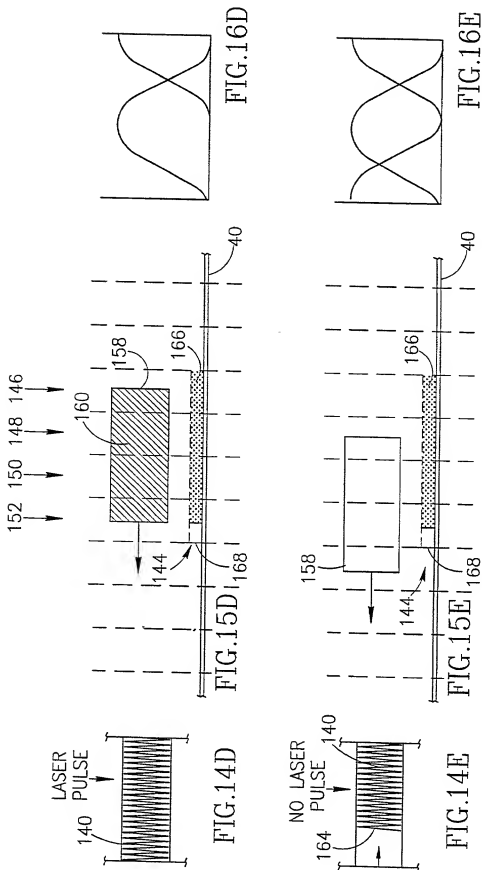


FIG. 16C

202010-19032001



DIRECT PATTERN WRITER
Wolfgang RETCHKE, et al
140/02558

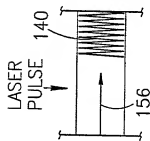


FIG. 14F

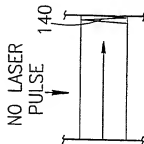


FIG. 14G

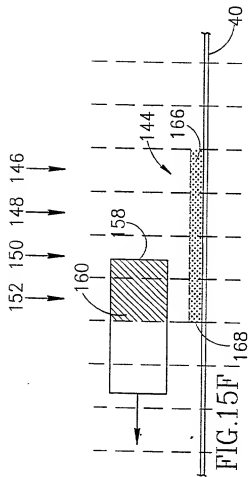


FIG. 15F

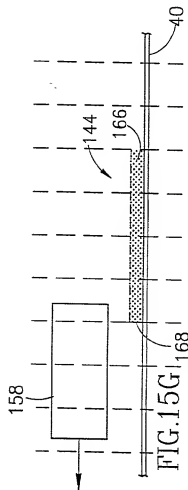


FIG. 15G

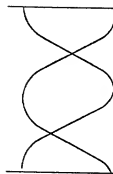


FIG. 16F

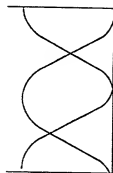


FIG. 16G

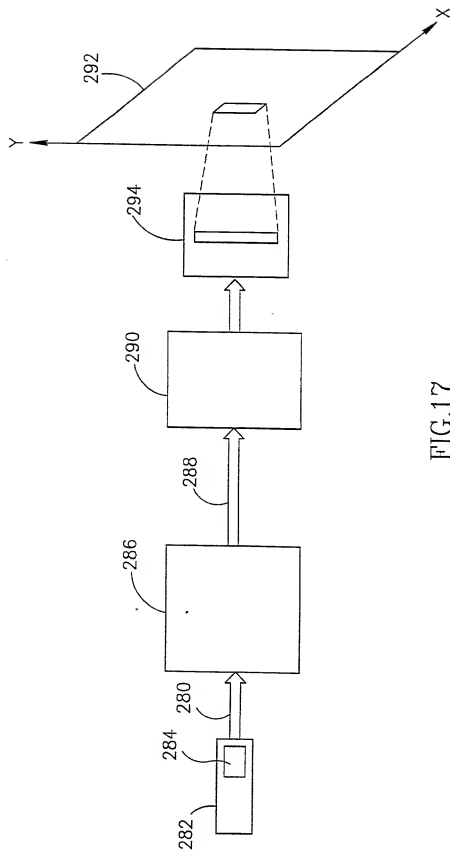
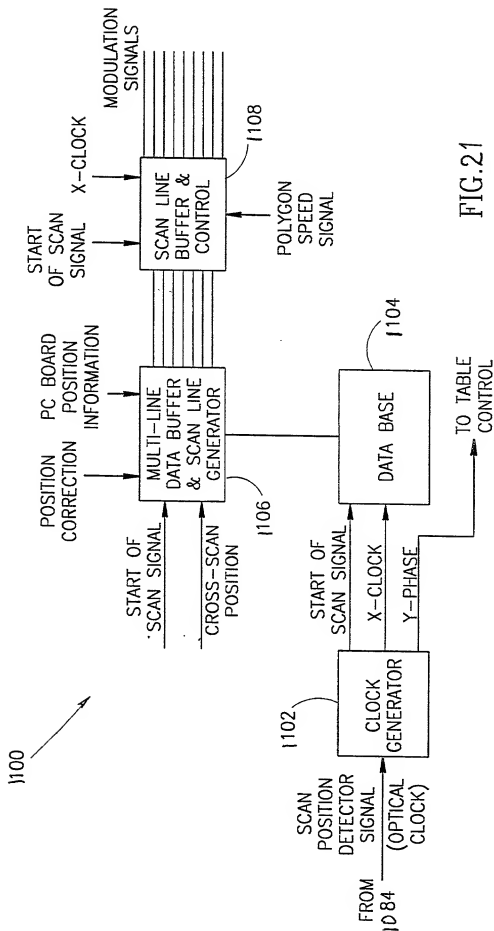


FIG.17









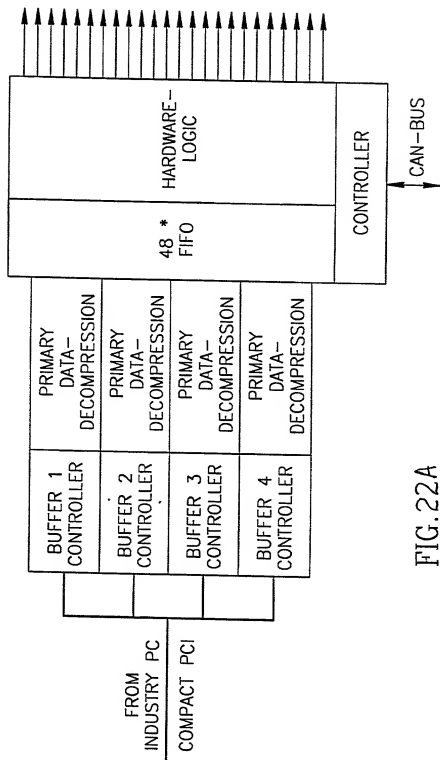


FIG. 22A

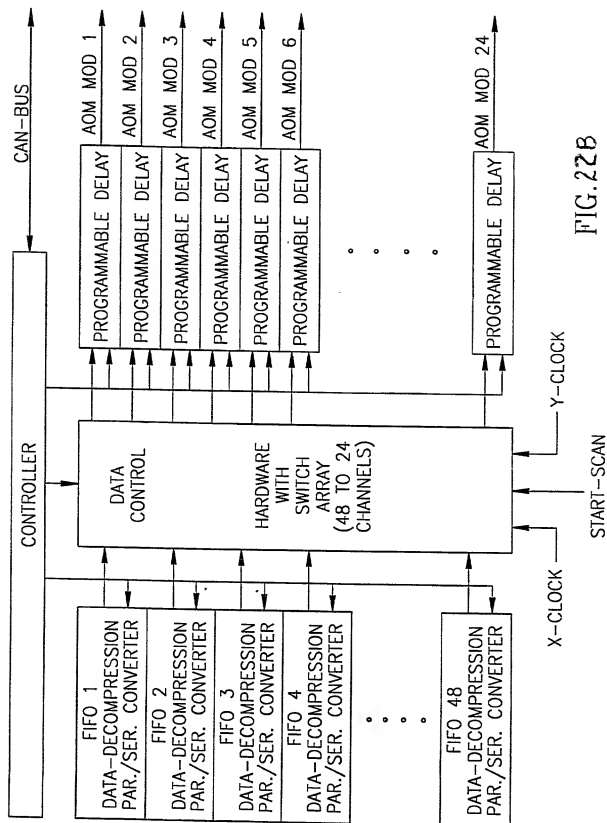
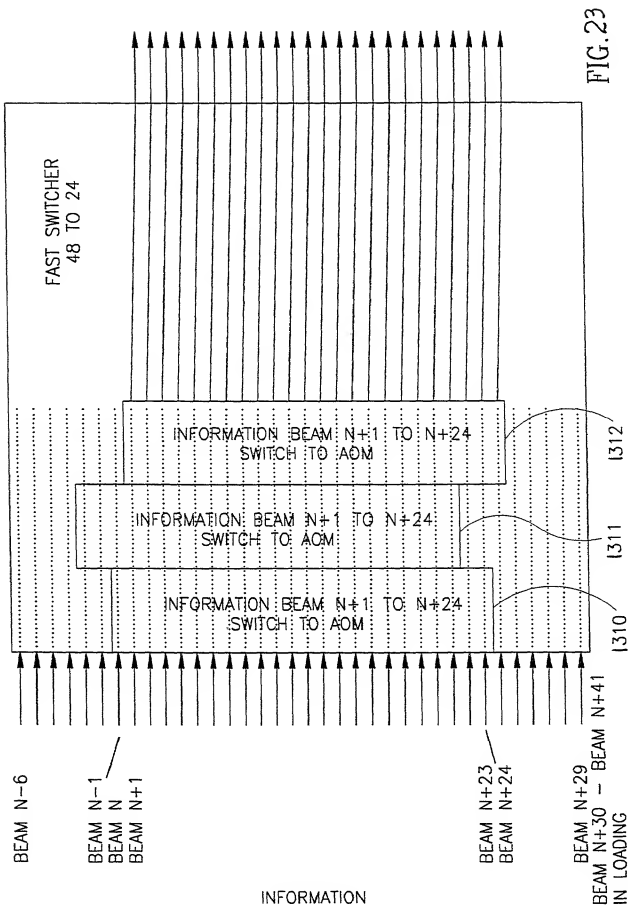


FIG. 22B



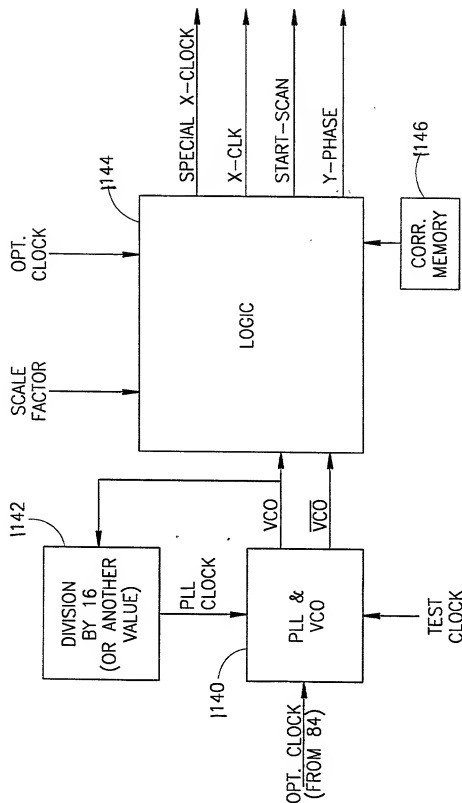


FIG. 24

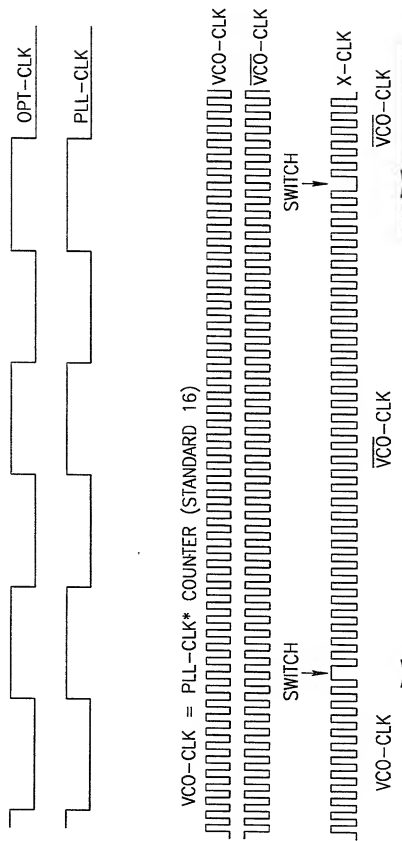


FIG. 25

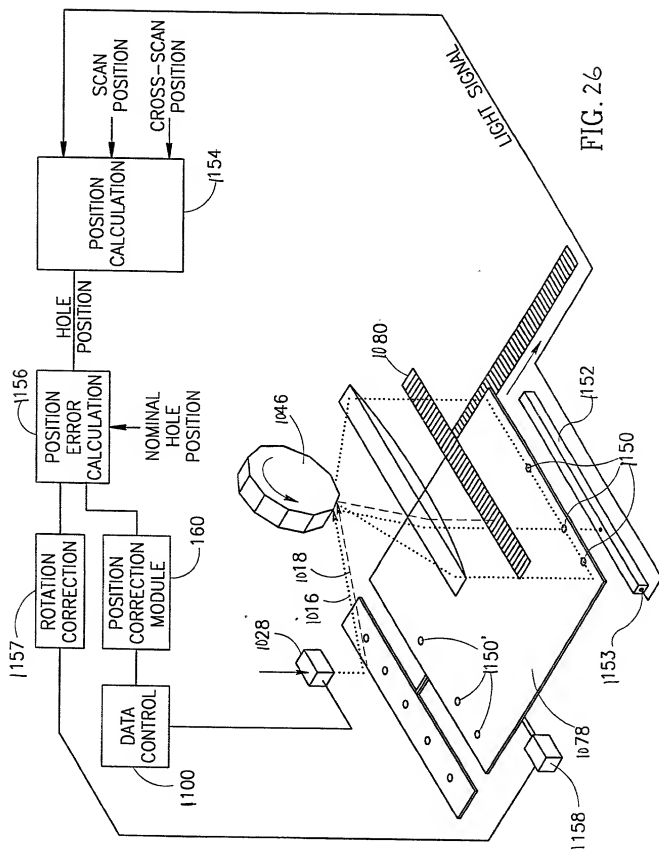


Fig. 27

